

## 層状脆性体の破壊について

京都大学 正員 沢田義次

・ 〇木林昭一

日本鋼管 野邑正美

## 1.はじめに

岩盤内には層理、節理などの不連続面が含まれているのが普通であり、岩盤の力学的挙動は岩芯自身よりもむしろ岩盤特有的不連続面の状態、すなわち、不連続面の幾何学的形状、不連続面の強度および不連続層中の夾在物の性質により大きく支配されると考えられる。しかしながら、これらの影響を理論的に解析することは現段階ではほとんど不可能に近く、適当な模型実験に頼らざるを得ないであろう。

本研究は不連続脆性体の破壊機構の解明と破壊条件の確立を目的として現在進行中の実験的研究の一部であり、岩盤を理想化したモデルとして規則的に配列した層状脆性体を対象とし、層の性質、すなわち幾何学的条件、層中の夾在物の性質、層の厚さと間隔および荷重方向からの傾きなどの条件を種々変化させた実験の一部である。

## 2. 実験

2.1. 供試体：図-1のように2cm間隔に平行な3mm厚の弱層を含む立方供試体(10.5cm角)を作製した。層の強さ層はセメントモルタルで、弱さ層はフライアッシュセメントより成る。各材料の配合および特性を表-Iに示す。

試験持材令け12日とした。

2.2. 試験方法：单軸、二軸定頭荷重、三軸 extension および compression

層	配合	測定強度 kg/cm <sup>2</sup>	強度比 水/セメント	圧縮強度 kg/cm <sup>2</sup>	引張強度 kg/cm <sup>2</sup>
厚, 強	砂:セメント:水=1/1/0.4, 2.2×10 <sup>6</sup>	0.27	470	—	—
弱, 弱 A	7319m <sup>3</sup> :セメント:水 =2/1/1.8	2.8×10 <sup>6</sup>	0.30	47.5	19.3
" B	=1/1/1	5.5×10 <sup>6</sup>	0.24	147	48.2

表-I

compression 試験を行なった。三軸試験に於ては急激な荷重変動を破壊と考えた。又、いずれの試験に於ても供試体の端面摩擦を減少させるためにシリコンブリースを塗布した柔いゴムシート(0.3mm厚)を使用した。

2.3. 試験結果：单軸圧縮試験結果が図-2に、三軸 compression 試験結果を図-2に示す。図-3は二軸圧縮試験結果を示したものである。二軸、荷重比(或いは応力比)が大きくなると破壊の形態は全く異なったものとなり、弱層の存在には無関係となる。この範囲の結果は图から除外した。Octed の関係を図-4に、また Rendulic 応力面に描いた結果を図-5に示す。

## 3. 考察

図-2より明らかのように、層状脆性体の崩壊時強度は弱層の傾き方に大きく左右され、θ=30°で最大となる。拘束圧が増加するにつれて各々の角度の強度θ=90°に対する強度比は増加する。AとBの場合を比較すると、拘束圧が低い時は弱層の強度、粘着力が最終強度に影響するが拘束圧が大きくなると両者の差は殆んど認められなくなる。弱層材料の一面剪断試験と試験片に作用している崩壊時の直応力と剪断応力を比較すると、θ≥60°では後者の抵抗力が大きく試験片は弱層部にすべりにより崩壊したことは考へらねえ。一方、15°≤θ≤45°では弱層部の崩壊がより全体的で崩壊が生じた。

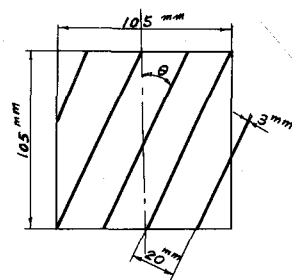


図-1

とがわかる。これらは試験片の破壊過程および崩壊の形態の観察からも容易に推測される。層状脆性体の破壊は單一の機構では説明できるようである。この機構は大別して、i) 弱層の影響が少なくて強層の強度が支配的な破壊、ii) 弱層の破壊によるもの、iii) 領層(面)すべりによる破壊に分けられる。i) は  $\theta$  が  $0 \sim 10^\circ$  で、ii) は  $\theta$  が約  $60^\circ$  以上で、iii) は  $\theta$  が  $15 \sim 60^\circ$  の範囲に適用できる。iii) は弱層と強層、接觸面にある偏平微小クラックを想定して Griffith 理論を適用するか或いは Coulomb 式により説明できる。紙面の都合上他の機構および曲面の説明は省略する。以上の簡単な模型からも推察されるように実際の層状脆性体の破壊機構は複雑であり、崩壊時の局部的変形、回転能力なども今後検討すべき問題であろう。

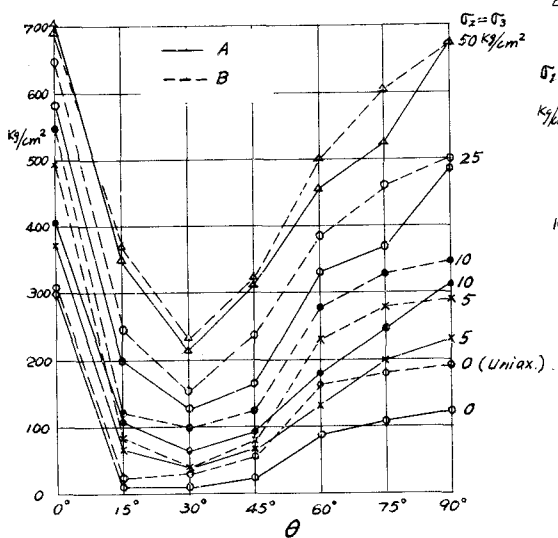


図-2

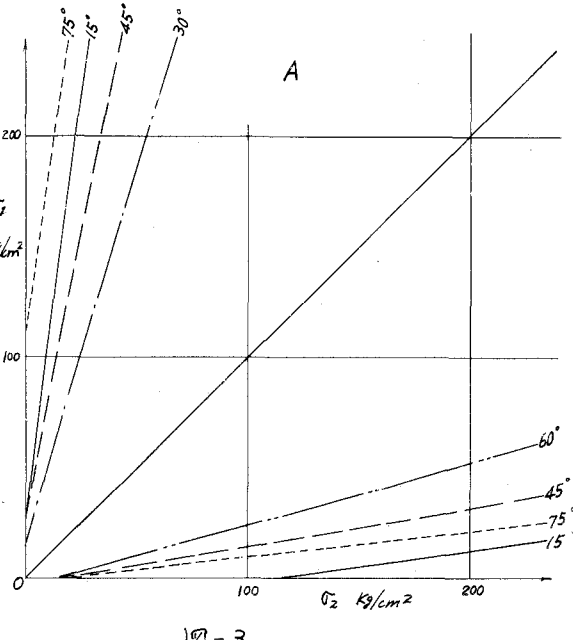


図-3

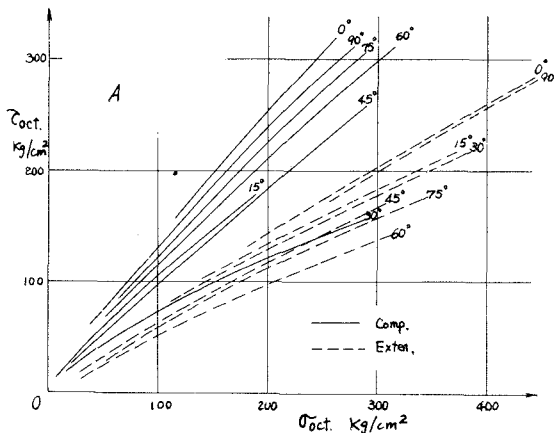


図-4

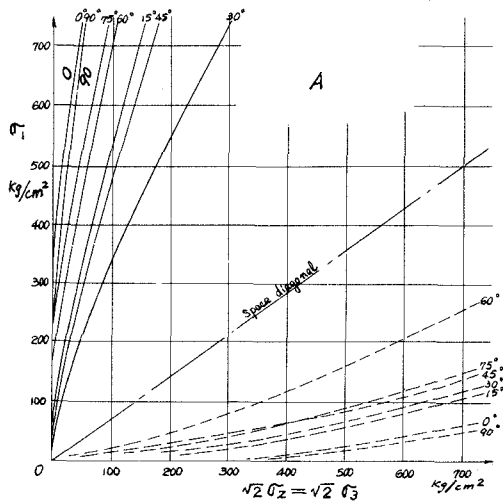


図-5